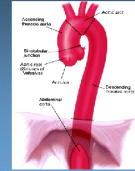
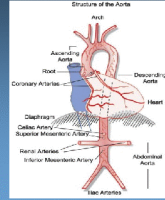


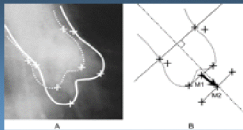
## PATOLOGIE DELL'AORTA TORACICA DI INTERESSE CHIRURGICO

Aldo D. Milano

## Anatomia dell'aorta normale



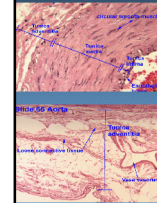
## Radice aortica



-Giunzione ventricolo arteriosa  
-Parte dei seni di Valsalva  
-Giunzione seno tubulare

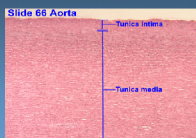
## Aorta normale

- Tre strati
- Intima:** strato sottile, delicato, ricoperto di endotelio e facilmente traumatizzabile
- Media:** da consistenza all' Ao, composto da strati alternati in maniera spirale di muscolatura liscia e fibre elastiche che consentono il massimo di forza tensile, di distensibilità ed elasticità, che è vitale alla circolazione
- Avventizia:** contiene principalmente collagene e contiene gli importanti vasa vasorum, che nutrono la porzione esterna e la gran parte della tunica media



- Tunica intima**
  - Strato di endotelio
  - Tessuto connettivo basale
- Tunica media**
  - Strato a spirale di cellule muscolari lisce
  - Substrato di fibre elastiche
- Tunica Avventizia**
  - Connettivo lasso (collagene)
  - Vaso vasorum

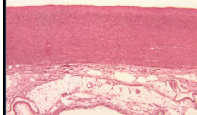
## Strati dell'aorta



Arteria elastica  
La tonaca media comprende la gran parte del  
Fibre elastiche interconnesse in maniera circolare.  
Il confine tra intima e media non è ben distinto

## Aorta normale Vs. vena jugulare

Slide 66 Aorta



Slide 67 Jugular vein



## PATOLOGIE DELL'AORTA TORACICA DI INTERESSE CHIRURGICO

- Aneurismi
- Falsi aneurismi o pseudoaneurismi
- Aterosclerosi diffusa (embolizzazione)
- Ulcera aterosclerotica penetrante
- Ematoma intramurale
- Dissezione aortica
- Rottura traumatica dell'aorta



#### DEFINIZIONI - 1

- Aneurisma: dilatazione localizzata dell'aorta (3 strati) con aumento del diametro > 50% del normale
- Pseudoaneurisma: dilatazione localizzata dell'aorta la cui parete è formata dall'avventizia e da parte della media
- Ulcera aterosclerotica penetrante: lesione aterosclerotica che penetra la lamina elastica interna della parete aortica
- Ematoma intramurale: stravasamento di sangue nella parete aortica senza evidente lesione dell'intima

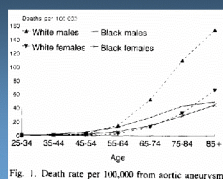


#### DEFINIZIONI - 2

- Aterosclerosi diffusa: grave aterosclerosi dell'aorta con ateromi sessili, pedunculati o mobili causa di embolizzazione.
- Dissezione aortica: stravasamento di sangue nella parete aortica (tonaca media) attraverso una lesione intinale con formazione di un falso lume.
- Rottura traumatica dell'aorta: lacerazione totale o parziale della parete aortica a seguito di evento traumatico.



### Aneurismi Aorta Toracica



Malattia spesso dimenticata

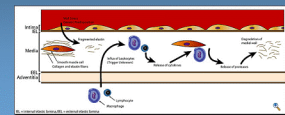
Dilemma sociale

Devastante



#### Fattori multipli

- Stress localizzato produce frammentazione della media
- Predisposizione genetica attraverso meccanismi immunologici (TGF- $\beta$ )
- Attivazione di processi MMP
- Degradazione della media
- Distensione pre-esistente



#### ANEURISMI - 1

- DISORDINI GENETICI
  - Sindrome di Marfan: alterata sintesi della FIBRILLINA, componente elastico della media
  - Sindrome di Ehlers-Danlos: alterata sintesi del collagene (tipo III e IV)
  - Aneurisma familiare: aneurisma familiare dell'aorta ascendente con trasmissione autosomica dominante (senza segni di Marfan)



#### Sindrome di Marfan



- Malattia ereditaria
  - Autosomica dominante
  - Nel 30% anche casi sporadici
  - Mutazioni spontanee
  - Affetti 2 su 10.000 persone
- Tessuto connettivo
  - scheletro
  - Sist. Cardiovasc.
  - occhi
  - cute

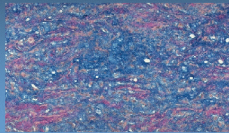


#### ANEURISMI - 2

- DEGENERATIVI
  - Degenerazione cistica idiopatica della media con frammentazione e perdita del tessuto elastico e delle cellule muscolari
  - Aterosclerosi
  - Meccanica: associati a valvulopatia aortica: bicuspidale, unicuspidale, coartazione, fistola



### Necrosi medio cistica



### ANEURISMI - 3

- INFIAMMATORI
  - Arterite di Takayasu, malattia di Behcet, malattia di Kawasaki, arterite a cellule giganti
- INFETTIVI
  - Batterici: stafilococco epidermidis, salmonelle, streptococco
  - Micotici
  - Spirochete: Lue



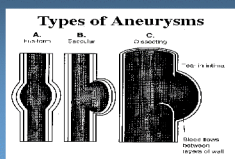
### ANEURISMI - 4

- DISSEZIONE AORTICA CRONICA\*
- AN. CRONICO POST-TRAUMATICO\*
- ANASTOMOTICO\*: post- arteriotomia in sede di anastomosi e cannulazione aortica

\* Trattasi di falsi aneurismi la cui parete è costituita da avventizia e tessuto fibroso



### Classificazione morfologica degli aneurismi



### Storia Naturale

Progressiva dilatazione, soprattutto nei pazienti ipertesi, con rottura o dissezione acuta.  
La tendenza alla dilatazione ed alla rottura dipende da:  
- dimensioni iniziali;  
- dall'eziologia dell'aneurisma.



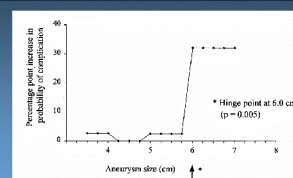
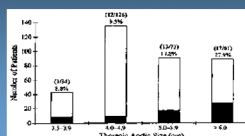
### Diametro medio aorta

	Maschi	Femmine
Toracica Ascendente	29	27
Toracica Discendente	28	26
Addominale (al tripode)	23	20
Addominale Sottorenale	19	15

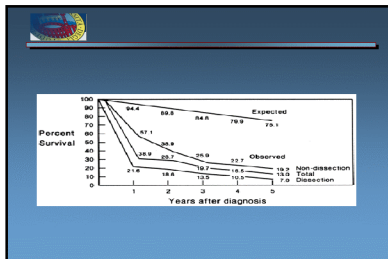


### Storia naturale

- La rapida espansione, è l'unico indice predittivo di rottura (>0.5cm/anno).
- Con diametri sup. a 6 cm il rischio è alto
- Gli aneurismi disseccanti cronici hanno la prognosi peggiore.



Coady MA et al. J Thorac Cardiovasc Surg 1997; 113: 476-91



### Manifestazioni Cliniche

- 40% degli aneurismi toracici sono asintomatici
- Conseguenze vascolari
  - IA
  - Scompenso cardiaco
  - Rottura seni di Valsalva
  - Tromboembolia
- Effetto Massa
  - Sindrome cavale superiore
  - Deviazione tracheale, stridor, tosse, dispnea, emottisi
  - Defagia, voce bitonale
  - Dolore costante e gravativo od acuto lacerante, dorsale toracico, lombare interscapolare

### DIAGNOSTICA PER IMMAGINI

- RX Torace
- Tomografia computerizzata
- Aortografia
- Angio-Risonanza Magnetica
- Ecocardiografia transtoracica
- Ecocardiografia transesofagea

### Classificazione

In base alla sede si dividono in:

- 1) Aneurisma della radice aortica (anuloectasia);
- 2) Aneurisma dell'Aorta Ascendente;
- 3) Aneurisma Arco aortico;
- 4) Aneurisma dell'Aorta Toracica discendente;
- 5) Aneurisma dell'Aorta Toraco-Addominale.

Università degli Studi di Verona  
Dipartimento di Scienze Biomediche e Chirurgiche

### Ectasia annuloaortica

- Dilatazione idiopatica della radice aortica con conseguente IA
- Più comune nell'uomo
- Generalmente compare nella 4a-5a decade di vita
- Le pareti aortiche risultano indebolite e pronte alla rottura o dissezione

### SEGN

- Soffio da rigurgito aortico con o senza manifestazioni periferiche
- Ampla pressione differenziale
- Deviazione tracheale
- Soffio paravertebrale sinistro

Figure 2 Schematic presentation of the longitudinal post-mortem view with four regions where aortic diameters are measured for following analysis: in Marfan's syndrome: 1 = aortic ventricles, 2 = aortic arch, 3 = aortic annulus, 4 = aortic sinuses, 5 = aortic root, 6 = aortic sinuses, 7 = aortic arch, 8 = aortic sinuses, 9 = aortic root, 10 = aortic sinuses, 11 = aortic arch, 12 = aortic sinuses, 13 = aortic root, 14 = aortic sinuses, 15 = aortic arch, 16 = aortic sinuses, 17 = aortic root, 18 = aortic sinuses, 19 = aortic arch, 20 = aortic sinuses, 21 = aortic root, 22 = aortic sinuses, 23 = aortic arch, 24 = aortic sinuses, 25 = aortic root, 26 = aortic sinuses, 27 = aortic arch, 28 = aortic sinuses, 29 = aortic root, 30 = aortic sinuses, 31 = aortic arch, 32 = aortic sinuses, 33 = aortic root, 34 = aortic sinuses, 35 = aortic arch, 36 = aortic sinuses, 37 = aortic root, 38 = aortic sinuses, 39 = aortic arch, 40 = aortic sinuses, 41 = aortic root, 42 = aortic sinuses, 43 = aortic arch, 44 = aortic sinuses, 45 = aortic root, 46 = aortic sinuses, 47 = aortic arch, 48 = aortic sinuses, 49 = aortic root, 50 = aortic sinuses, 51 = aortic arch, 52 = aortic sinuses, 53 = aortic root, 54 = aortic sinuses, 55 = aortic arch, 56 = aortic sinuses, 57 = aortic root, 58 = aortic sinuses, 59 = aortic arch, 60 = aortic sinuses, 61 = aortic root, 62 = aortic sinuses, 63 = aortic arch, 64 = aortic sinuses, 65 = aortic root, 66 = aortic sinuses, 67 = aortic arch, 68 = aortic sinuses, 69 = aortic root, 70 = aortic sinuses, 71 = aortic arch, 72 = aortic sinuses, 73 = aortic root, 74 = aortic sinuses, 75 = aortic arch, 76 = aortic sinuses, 77 = aortic root, 78 = aortic sinuses, 79 = aortic arch, 80 = aortic sinuses, 81 = aortic root, 82 = aortic sinuses, 83 = aortic arch, 84 = aortic sinuses, 85 = aortic root, 86 = aortic sinuses, 87 = aortic arch, 88 = aortic sinuses, 89 = aortic root, 90 = aortic sinuses, 91 = aortic arch, 92 = aortic sinuses, 93 = aortic root, 94 = aortic sinuses, 95 = aortic arch, 96 = aortic sinuses, 97 = aortic root, 98 = aortic sinuses, 99 = aortic arch, 100 = aortic sinuses.

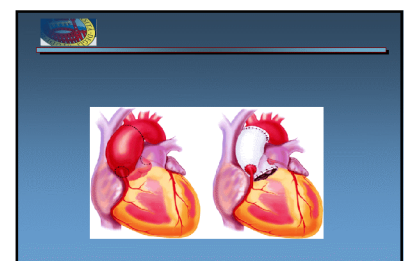
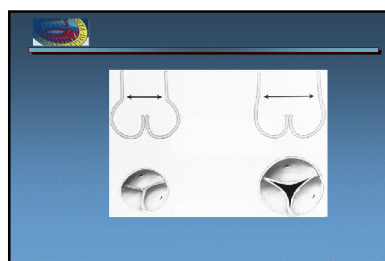
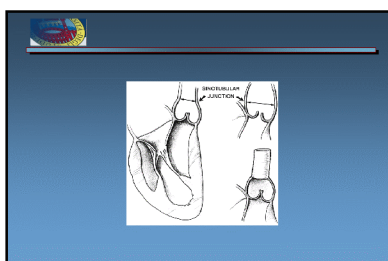
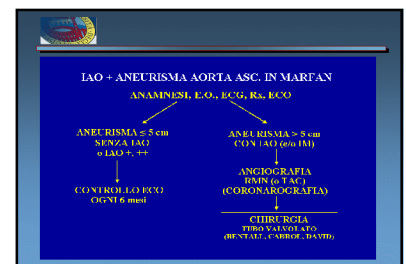
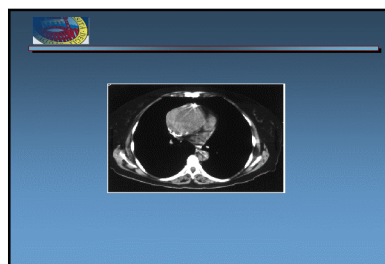
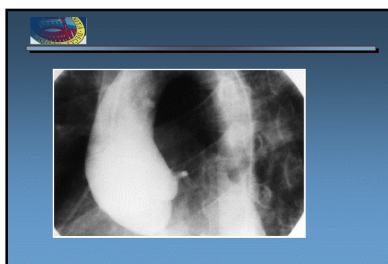
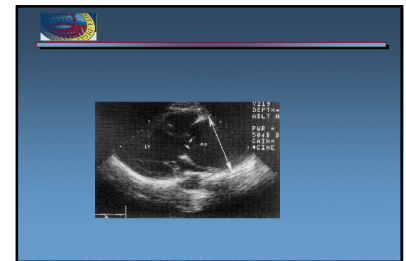
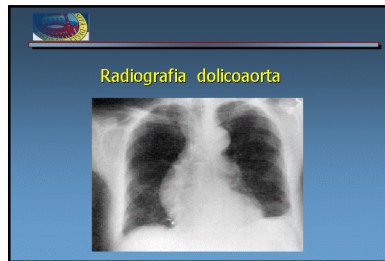
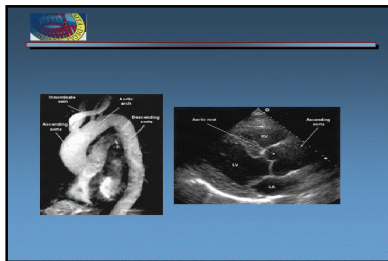
### Table 4 Predicted size of aortic root according to age and body surface area. From Roman et al.<sup>82)</sup>

Age (years)	Diameter of aortic root (cm)
<18	1.02 + (0.98 × BSA)
18-40	0.97 + (1.12 × BSA)
>40	1.92 + (0.74 × BSA)

BSA=body surface area (m<sup>2</sup>).

Un rapporto tra diametro osservato e diametro predetto >1.3 è associato ad una alta incidenza di complicanze (rottura, dissezione)





**Aneurismi aorta ascendente ed arco aortico**

28000 (1960), 23, 736.

**A technique for complete replacement of the ascending aorta**

HUGH BENTALL AND ANTONY DE BONO  
*From the Royal Free Hospital Medical School, London, and Westminster Hospital*

A technique for complete replacement of the aortic valve and ascending aorta in cases of aneurysm of the ascending aorta with aortic valve disease is described. The proximal aortic root was too attenuated to afford anastomosis to the aortic prosthesis, so this was sutured to the ring of a Starr valve and the prosthesis was inserted *en bloc*. The ends of the accessory arteries were anastomosed to the side of the aortic prosthesis.

**Aneurismi aorta ascendente ed arco aortico**

*Bentall H & De Bono A. Thorax 1968; 23: 538-9*

**Ricostruzione protesica aortica**

**Ricostruzione protesica aortica**

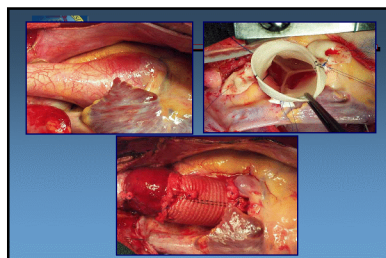
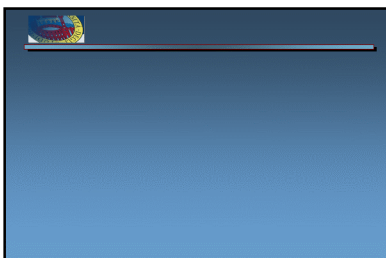
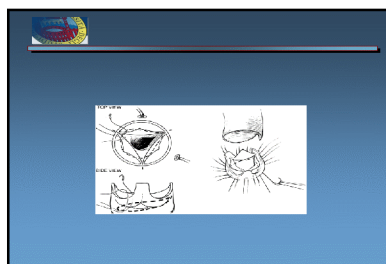
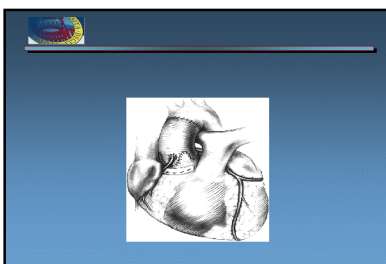
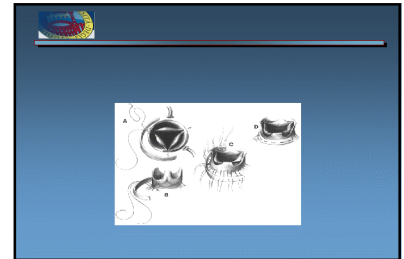
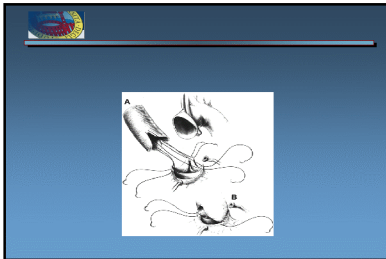
**Ricostruzione protesica aortica**

**Ricostruzione protesica aortica**

**Ricostruzione protesica aortica**

**Ricostruzione protesica aortica**

**Ricostruzione protesica aortica**



**Aneurisma aorta ascendente**

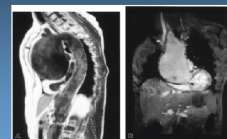
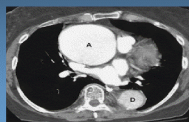
1. RX Torace
2. ECO
3. TAC
4. RMN
5. ANGIOGRAFIA



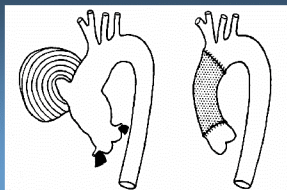
## Radiografia dolicoaorta



## Aneurismi aorta ascendente



## Aneurismi aorta ascendente ed arco aortico



Coolidge DA et al. JAMA 1956; 162: 1158-9



## Aneurismi aorta ascendente

### Criteri di correzione chirurgica

- Sintomatologia
  - Compressione
  - Concomitante insufficienza aortica
- Dimensioni
  - $\geq 5.5$  cm
  - da  $5 \times 5.5$  cm (Marfan)
  - $< 5$  cm (Marfan con insufficienza aortica)
- Estensione
  - $\geq 1$  cm/anno
  - crescita rapida

Cooley DA et al. J Thorac Cardiovasc Surg 1997; 112: 476-91



## Aneurisma dell'Aorta Ascendente e/o Arco

### Strategia Terapeutica

- Se asintomatico:
  - Se l'aneurisma è  $< 5.5$  cm si controlla il paziente con l'Eco ogni 6 mesi.
  - Se l'aneurisma è  $> 5.5$  cm si completa l'iter diagnostico con Doppler carotideo, angiografia e coronarografia e si esegue l'intervento in modo elettivo.
  - Nei casi ad etiologia genetica (Sind. Marfan) o valvola Ao bicuspidale l'intervento o pazienti con ipertensione arteriosa non controllata con terapia medica l'indicazione chirurgica si pone anche per diametri di 5 cm.
- Se sintomatico intervento cardiocirurgico anche se il diametro è  $< 5$  cm.



## ANEURISMA AORTA ASCENDENTE

ANAMENSI, ECG, ECG, ECG, ECG



## Aneurismi aorta ascendente

### Risultati

Patologia	Mortalità operatoria		Sopravvivenza a distanza	
	Media	Range	5 anni	10 anni
Marfan	2.5	1-6	78-87	57-73
Ectasia anulo-aortica	3	0-8	65-75	56-75
Degenerativa	3	0-5	71-75	65
Dissezione	10	5-21	56-87	40-65

Kouchoukos NT et al. New Engl J Med 1997; 336: 1076-89

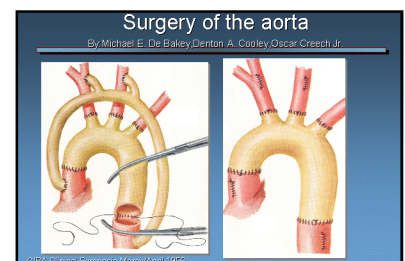
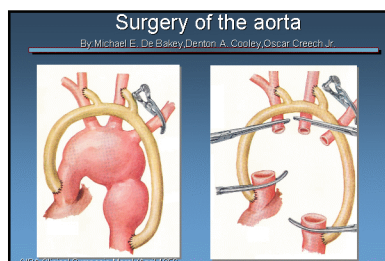
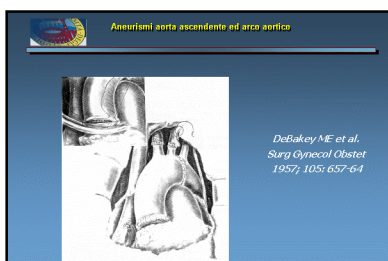
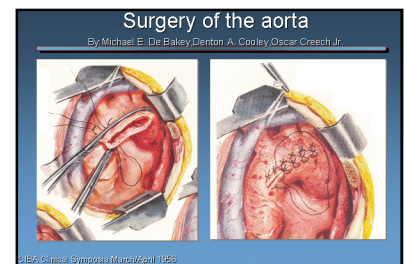
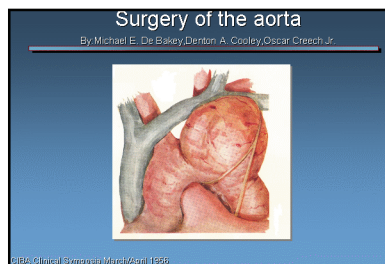
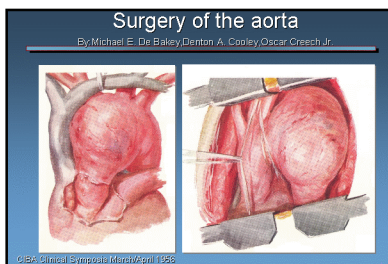
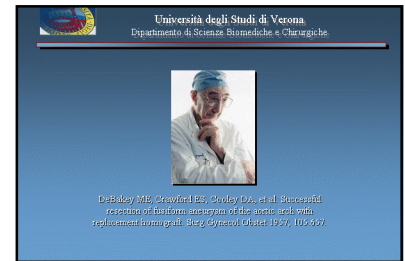
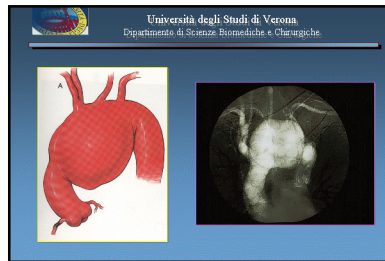


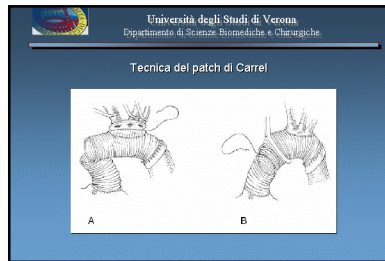
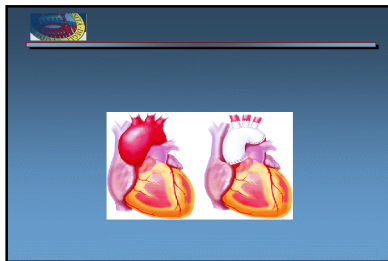
## Aneurismi aorta ascendente ed arco aortico

### Conclusioni

- Rischio di rottura e/o dissezione
- Assenza di criteri assoluti
- Valutazione in base alle dimensioni, età, patologie associate etc.
- Intervento precoce
- Intervento radicale
- Mortalità accettabile in elezione







- COMPLICANZE**
- Danno cerebrale
  - Paresi e Paresi
  - Disfunzione e Insufficienza renale
  - Disfunzione polmonare
  - Reintervento

Università degli Studi di Verona  
Dipartimento di Scienze Biomediche e Chirurgiche

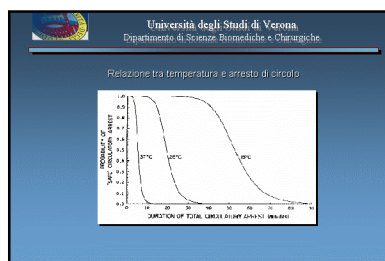
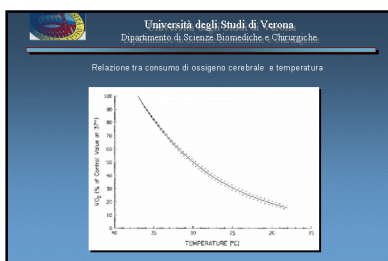
**Cerebral Protection in Cerebrovascular and Aortic Surgery**

Among the greatest challenges in cardiovascular surgery today remain operations on aortic arch pathology, supraortic vessels, and the protection of the brain from hypoxic or ischemic injury during these delicate operations.

Michael E. De Bakey

- PROTEZIONE CEREBRALE DURANTE CHIRURGIA DELL'AORTA E DELL'ARCO**
- IPOTERMIA PROFONDA CON ARRESTO DI CIRCOLO (DHCA)
  - PERFUSIONE CEREBRALE RETROGRADA (CRP)
  - PERFUSIONE CEREBRALE SELETTIVA (SCP) ANTIGRADA SECONDO KAZU

- 1) IPOTERMIA PROFONDA E ARRESTO DI CIRCOLO (DHCA)**
- TECNICA SEMPLICE
  - CAMPO ESANGUE E LIBERO DA CANNULE
  - FACILE ISPEZIONE DELL'ANEURISMA
  - OPEN AORTIC ANASTOMOSIS



**Protective mechanism of brain during HCA**

**Safe Duration of HCA**

Temp. (°C)	Cerebral Metabolic Rate (% of baseline)	Safe Duration of HCA (min)
37	100	5
35	50 (15-60)	10-15
33	25 (10-40)	15-20
31	10 (5-20)	20-30
29	5 (2-10)	30-40
27	2 (1-5)	40-50

\*Q10: 2.3 (to 15 °C; 2.05, 15-11.4 °C; 3.5)

(van Thromburg 1999; 67:1895-9)

**DHCA**

**TEMPO LIMITE DI SICUREZZA (TEORICO)**

**30 MINUTI A 15°C**

MC CULLOUGH: Annals Thoracic Surgery 1999; 54:609-16

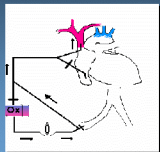
**2) PERFUSIONE CEREBRALE RETROGRADA**

- WASH OUT EMBOLICO
- SUPPORTO NUTRITIVO

UEBA Y. (Osaka Prefectural General Hospital-TAFAP)  
Journal Cardiovascular Surgery 1990; 31: 553-8

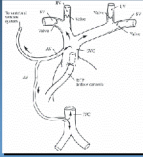
Università degli Studi di Verona  
Dipartimento di Scienze Biomediche e Chirurgiche

Perfusione retrograda



Università degli Studi di Verona  
Dipartimento di Scienze Biomediche e Chirurgiche

Possibili problemi nella distribuzione del flusso per via retrograda



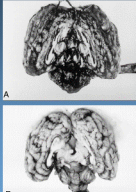
Università degli Studi di Verona  
Dipartimento di Scienze Biomediche e Chirurgiche

Perfusione cerebrale Retrograda

- Ideata per fornire al cervello substrati metabolici e O<sub>2</sub> al cervello attraverso la VCS
- Possibile lavaggio retrogrado di emboli gassosi e particolati
- Modesta perfusione capillare
- Distruzione neurologica
- Raffreddamento cerebrale continuo (distrib. Circolo venoso cerebr.)

Università degli Studi di Verona  
Dipartimento di Scienze Biomediche e Chirurgiche

Ink-filled vessels on the surface of the brain.



A, Antegrade cerebral perfusion group.

B, Retrograde cerebral perfusion group

Yasui H, Imai T, Imai K, et al. J Neurosurg 1997;84:626-30

**GASISTICA**

**COSELLI J.** (590 Pazienti di cui 285 con DHCA E CRP)

Gruppo	Mortalità
DHCA + CRP	3.4 %
DHCA	14.8 %

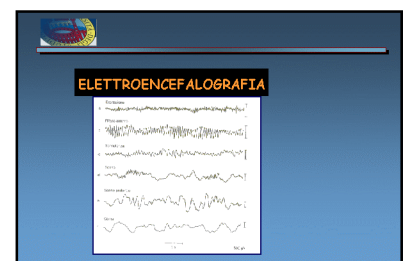
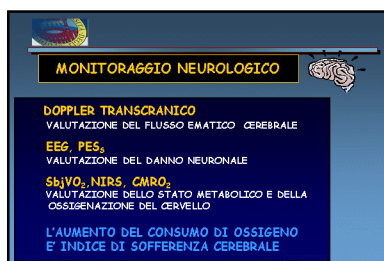
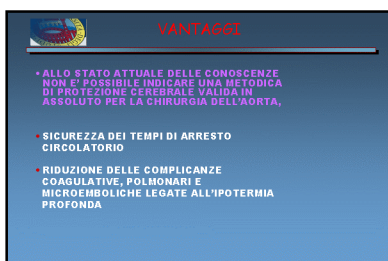
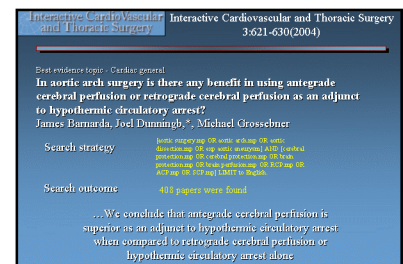
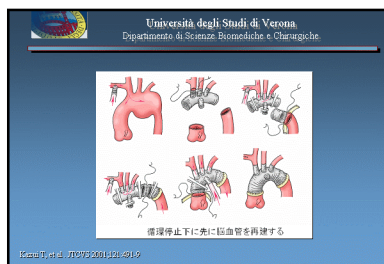
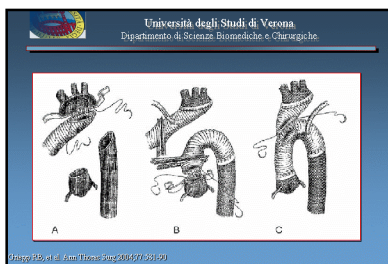
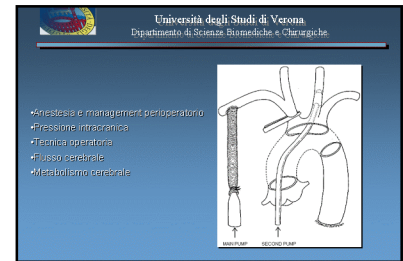
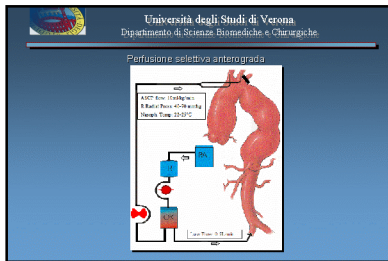
**3) PERFUSIONE CEREBRALE SELETTIVA SECONDO KAZUI**



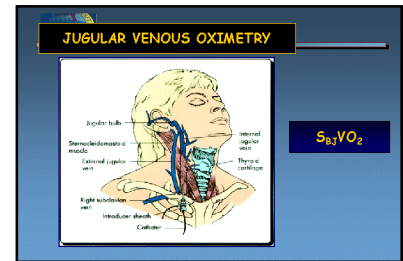
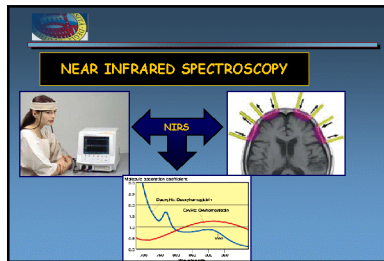
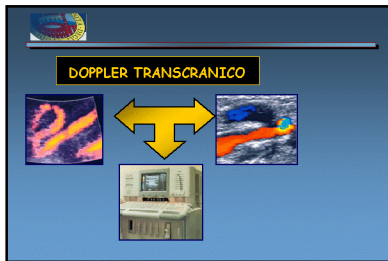
**TECNICA DI CANNULAZIONE SELETTIVA**

- TRONCO ANONIMO
- ARTERIA CAROTIDE COMUNE SINISTRA









Università degli Studi di Verona  
Dipartimento di Scienze Biomediche e Chirurgiche

**Monitoraggio neurologico**

1. Pressione bilaterale arteria radiale
2. Elettroencefalografia
3. Doppler transcranico bilaterale flussi e saturazione

Università degli Studi di Verona  
Dipartimento di Scienze Biomediche e Chirurgiche

The recent identification of unique small capillary arteriolar dilatations (SCADs) in the brain associated with fat emboli raises the possibility that these emboli not only block small vessels but also release cytotoxic free radicals, which may significantly increase the damage to lipid-rich neurons.

= > Neurocognitive dysfunction

Università degli Studi di Verona  
Dipartimento di Scienze Biomediche e Chirurgiche

**Aneurismi arco aortico**

**Criteri di correzione chirurgica**

- Diametro  $\geq 5.5-6$  cm
- Segni di allargamento progressivo
- Segni di compressione
- Spesso associati ad aneurisma aorta ascendente e/o discendente

*Coady MA et al. J Thorac Cardiovasc Surg 1997; 113: 476-91*

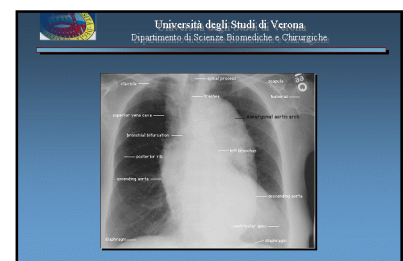
Università degli Studi di Verona  
Dipartimento di Scienze Biomediche e Chirurgiche

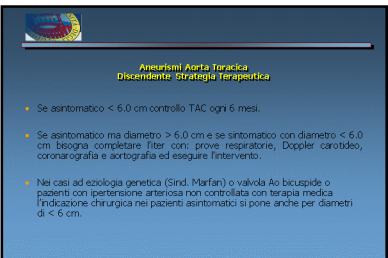
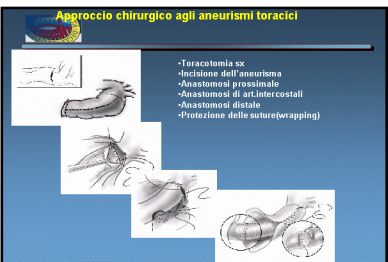
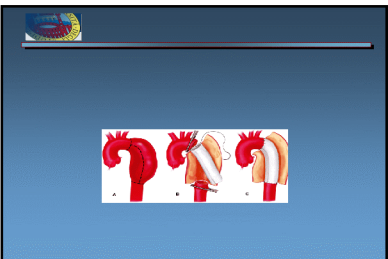
**Aneurismi arco aortico**

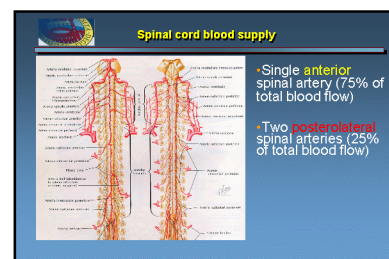
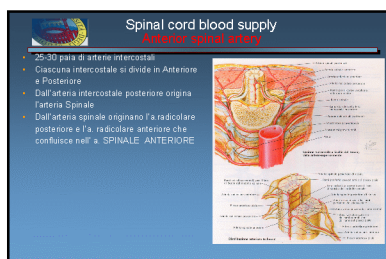
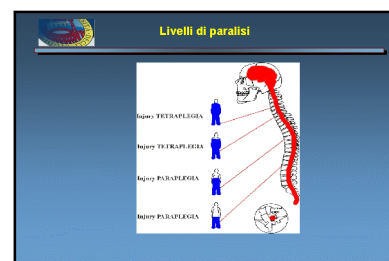
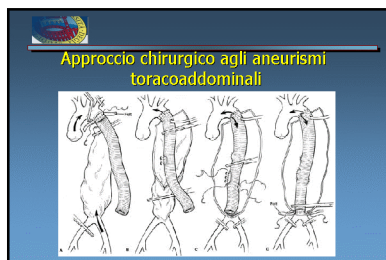
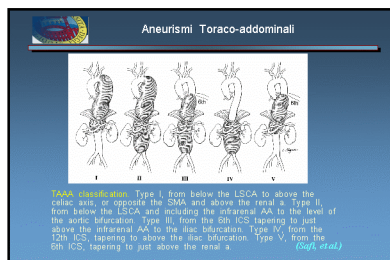
**Risultati**

Patologia	Mortalità operatoria		Sopravvivenza a distanza	
	Media	Range	5 anni	10 anni
Degenerativa	6	0-19	-	-
Dissezione	12	3.5-24	56	48

*Kouchoukos NT et al. New Engl J Med 1997; 336: 1876-82*

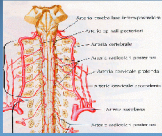






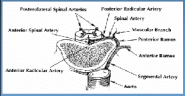
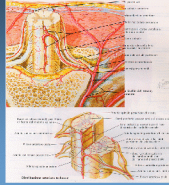
**Spinal cord blood supply**  
*Anterior spinal artery*

- They originate from vertebral arteries or posterior inferior cerebellar arteries
- They merge into a poorly defined circumferential anastomotic circulation on the posterior aspect of spinal cord

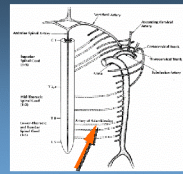


**Spinal cord blood supply**  
*Anterior spinal artery*

- 25-30 pairs of segmental vessels
- these segmental vessels split into 2 rami (ant/post)
- from the posterior rami originate spinal arteries

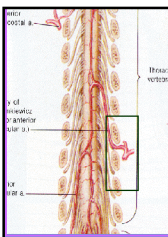
**Spinal cord blood supply**  
*Origin of segmental vessels*



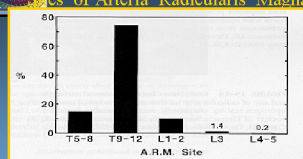
The arteria radicularis magna (ARM) originates between T8 and L3 (90%) on the left side (80%)

**Artery of Adamkiewicz**

- Major ant. radicular artery
- From T<sub>5</sub> - L<sub>1</sub>
- Larger than the other
- Hairpin bend
- Perfuses the spinal cord distal to junction with ASA
- ASA above ARM is smaller in diameter than below the ARM



**Sizes of Arteria Radicularis Magna**



A.R.M. Site	%
T5-8	15
T9-12	75
L1-2	10
L3	1.4
L4-5	0.2

Based on this finding, recommend, whenever possible, all intercostal and lumbar arteries from T<sub>4</sub> down to and including L<sub>1</sub> should be reattached

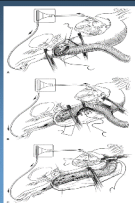
(Lars G. Svensson, 1998)

**Strategies to prevent spinal cord ischaemia**

- Riduzione della durata d'ischemia midollare
- Riduzione del grado di severità dell'ischemia
- Ripristino del flusso midollare
- Tecniche per limitare il danno da reperfusion

**Reduce duration of ischaemia**

- Distal aortic perfusion** (Svensson, Ann Thor Surg, 1988)
- requires atriorenal partial bypass
- helps to maintain both proximal and distal perfusion

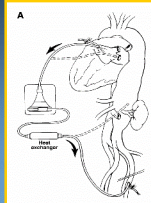


**II. Riduzione del grado di ischemia**

- Distal aortic perfusion**
- Systemic hypothermia including TCA
- CSF drainage (< 7 cmH<sub>2</sub>O for 2 days)
- Intrathecal papaverine (before cross clamp)
- Topical and local cooling technique

(Svensson)

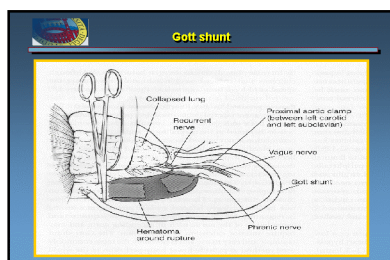
**LA-fem bypass**



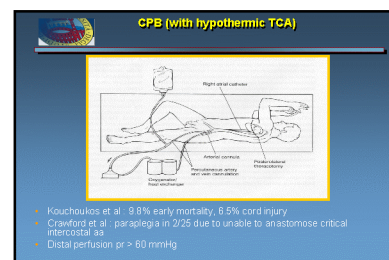
Initial cannulation of LAA and Lt. FA for distal aortic perfusion. Alternatively, in cases of occlusion or previous aorto-bifemoral bypass surgery, the upper or lower pulmonary vein and the distal thoracic or proximal abdominal aorta are used.

(Soffi, et al)





- ### Gott shunt
- Tapered heparin-coated polyvinyl tube
  - Constant caliber (7 - 9 mm), passive flow
  - Flow restricted by
    - proximal aortic driving pressure
    - shunt diameter and length
    - the degree of distal vascular resistance
  - Optimum shunt effectiveness: 60% of pre-cross-clamp capacity
  - Monitor femoral artery pressure



- Kouchoukos et al. 9.8% early mortality, 6.5% cord injury
- Crawford et al. paraplegia in 2/25 due to unable to anastomose critical intercostal aa
- Distal perfusion pr > 60 mmHg

- ### CPB with hypothermic TCA
- Useful in ...
- Lesion in distal aortic arch
  - Impending rupture, huge aneurysm
  - Extensive atheroma and calcification in distal arch
  - PA injury, PDA(+)
  - Poor hemodynamic status

### Left Heart Bypass Reduces Paraplegia Rates After Thoracoabdominal Aortic Aneurysm Repair

Joseph S. Cassali, MD, and Scott A. LeMaire, MD  
Department of Surgery, Baylor College of Medicine, The Methodist Hospital, Houston, Texas  
(Ann Thorac Surg 1999;67:783-8)

- 1989 - 1998
- 710 type I & II TAAA (total 1100 pts)
- 312 pts (with LHB) vs 398 pts (without LHB)

### Incidence of P/P after TAAA repair in comparative studies evaluating LHB

Study	Extent I		Extent II		p Value
	Without LHB	With LHB	Without LHB	With LHB	
Bavaria, et al <sup>1</sup>	3/11 (27.3%)	0/14	0/72	2/5 (40.0%)	0.330
Cassali, et al <sup>2</sup>	2/93 (6.7%)	1/55 (1.8%)	0/278	0/22 (40.9%)	0.003
<b>Pooled series</b>	<b>5/104 (12.7%)</b>	<b>1/112 (0.9%)</b>	<b>0/101 (0.0%)</b>	<b>2/27 (7.4%)</b>	<b>0.001</b>

<sup>1</sup> Both studies have also used CSF drainage since 1992.

(Cassali, et al.)


- ### Reducing the degree of ischemia
- Distal aortic perfusion
  - Systemic hypothermia including TCA
  - CSF drainage (< 7 cmH<sub>2</sub>O for 2 days)
  - Intrathecal papaverine (before cross clamp)
  - Topical and local cooling technique
- (Overas)

### Calculated safe duration of hypothermic TCA

Temperature (°C)	Cerebral Metabolic Rate (% of baseline)	Safe Duration of HCA (min)
37	100	5
30	56 (52-60)	9 (9-10)
25	37 (33-42)	14 (12-15)
20	24 (21-29)	21 (17-24)
15	16 (13-20)	31 (25-36)
10	11 (9-14)	45 (30-62)

Unpublished report for abstracts: that there is a critical relationship between TCA and P/P, based on observation for 48-72 hours after surgery. Such a hypothesis is not yet proven.

- ### Hypothermic protection
- ↓ In O<sub>2</sub> demand, ↑ in ischemic tolerance
  - Degree of protection is not proportional to metabolic rate reduction
  - Inhibition of biosynthesis, release, and uptake of these excitatory neurotransmitters
  - Glutamate remained depressed even after rewarming to normothermia



## Hypothermic Cere for Spinal Cord Protection: Rationale and Clinical Results

Nicholas J. Hourcade, MD, and Chris K. Rokas, MD  
The Heart Center, Mount Sinai Medical Center, 9 Louis Pasteur  
[poster] Poster: Surg. 1998;6:7 (1998-2)

- 1986-1 - 1998, 4, 114 patients
- EEG monitoring, fem-fem bypass, TEE
- Aorta distal to the diseased segment is isolated  
    circumferentially, the remainder is not dissected.
- Intercostal anastomosis below T6 in 87%
- P/P rate: 2.8%(3/108 pts)

- Distal aortic perfusion
- Systemic hypothermia including TCA
- CSF drainage ( $\leq 7 \text{ cmH}_2\text{O}$  for 2 days)
- Intrathecal papaverine (before cross clamp)
- Topical and local cooling technique

**CSF drainage**

**A Cross Clamp**

CSF Pressure

DVA Pressure

**B Spinal Cord Protection**

CSF Drain

DVA Perfusion

Core temperature 32°C


Advancing A-C<sub>5</sub> level A<sub>10</sub> P<sub>10</sub> decreases markedly, causing a reduction in spinal perfusion P<sub>10</sub> and a subsequent increase in CSF P<sub>10</sub>. This in turn increases CSF flow to the spinal cord, leading to an increase in the spinal perfusion P<sub>10</sub>, thus increasing blood flow to the spinal cord. The addition of CSF further decreases CSF P<sub>10</sub> and supports the perfusion of the spinal cord. Moderate hypothermia (32°C) provides additional spinal cord protection.

*(Safir, et al.)*

Diagram illustrating a patient in a prone position on a table, connected to a monitor displaying  $\leq 10$  mmHg, likely representing a target pressure for CSF drainage.

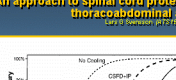
## CSF drainage

- Decrease in CSF Pr – improve spinal bf
- Extraction of negative neurotropic factors
- Initially, 20 to 50 ml are drained, and additional fluid(as much as 100 ml) is drained throughout op to maintain CSFP at less than 10 mm Hg
- Cx :
  - Intraoperative intrathecal bleeding
  - postoperative headache



## An approach to spinal cord protection during descending or thoracoabdominal aortic repairs

Larry D. Swanson (M.D.) (1995-1996)




The graph plots the Risk of Neurological Injury (Y-axis, 0% to 100%) against Aortic Clamp Time (min) (X-axis, 0 to 60). Four curves are shown: 'No Cooling' (solid line, highest risk), 'CSF only' (dashed line, second highest risk), 'Active Cooling' (dotted line, lower risk), and 'Active Cooling with CSF only' (dash-dot line, lowest risk). The 'Active Cooling' curve shows a sharp drop in risk after approximately 20 minutes of clamp time, while the other curves show a more gradual decline.

- LA femoral bypass
- systemic hypothermia (33°–35° C)
- CSF drainage
- IT papaverine
- Various topical and local cooling techniques
- Reattachment of intercostals from T6–L2

- Distal aortic perfusion
- Systemic hypothermia including TCA
- CSF drainage (< 7 cmH<sub>2</sub>O for 2 days)
- Intrathecal papaverine (before cross clamp)
- **Topical and local cooling techniques**

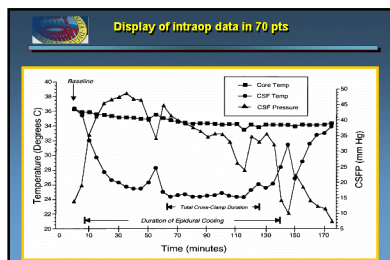
*(Grossman)*

[illegible]

## Epidural cooling

### Methods and limitation

- 4-5 cc/min, Iced saline solution
- CSF temperature : 23-25°C before ACC
- CSF Pr increases during infusion, averaging twice the baselines.
- Maintain an arbitrary 35 to 40 mmHg gradient btw MAP and CSFP



### III. Reestablishment of Spinal Cord Blood Flow

*Intercostal anastomosis*  
To determine which vessels need to be reattached

- Arteriography
- Hydrogen mapping : hydrogen-rich saline solution
- SSEP
- MEP

*(Lars G. Swenson, 1998)*

### Intercostal anastomosis

*When not feasible*

- Occlusion by thrombus in the ostia
- Calcification of the aortic wall
- Rupture or acute aortic dissection
- In certain patients with Marfan syndrome
- After reattachment, dissection of this patch may occur, resulting in bleeding that needs to be controlled by oversewing

*(Lars G. Swenson, 1998)*

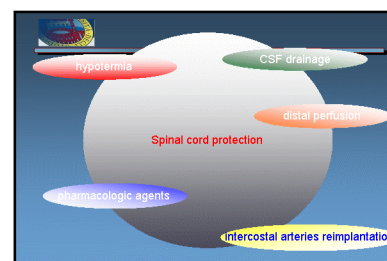
### Reestablishment of spinal blood flow post operative care

- keep arterial pressure as high as possible
  - accurate hemostasis
  - NO vasodilators (especially nitroprusside)
- maintain CSF pressure lower than 10 mmHg for 12 hrs after the procedure
- corticosteroids

*"Interventions for Reversing Postoperative Paraplegia After Thoracic Aortic Reconstruction" Cheung AT (Ann Thor Surg, 2002)*

### Limit reperfusion injury

- **Free radical scavengers**
  - PEG-SOD (Polyethylene Glycol SuperOxideDismutase)
  - allopurinol (xanthine oxidase inhibitor)
  - deferoxamine (free iron chelator)
  - methylprednisolone (increase membrane stability)
- **Immune system modulation**
  - chloroquine, colchicine (mononuclear phagocytes inhibition)
  - surface glycoprotein CD18
- **adenosine**
  - type 1 receptors decrease membrane excitability - limit the damaging influx of calcium
  - type 2 receptors promote vasodilation - inhibit platelets aggregation and neutrophil activation and subsequent free radical production
  - excellent results in animal experimental settings



Università degli Studi di Verona  
Dipartimento di Scienze Biomediche e Chirurgiche

Uso di stents nell'arco aortico

### Correzione degli aneurismi toracici con Endoprotesi

